

Göksu Deltası'nda Fırtına Kabarmasına Bağlı Deniz Seviyesi Değişimleri

By Hatice Kılار



Göksu Deltası'nda Fırtına Kabarmasına Bağlı Deniz Seviyesi Değişimleri

Hatice Kılار¹
İhsan Çiçek²

Özet: Fırtına kabarması, atmosferik koşulların normal seyirlerde gerçekleşmediği durumlarda ortaya çıkan ani su seviyesi yükselmesidir. Son yıllarda, küresel iklim değişikliği nedeniyle okyanus ve deniz yüzeyleri daha fazla ısınmakta ve buna bağlı olarak daha kısa sürelerde şiddetli fırtına kabarmaları meydana gelmektedir. Bu durum, 2007 yılında yayımlanan IPCC raporunda “Fırtınaların sürelerinin uzunluğu ve büyülüklüğü arasında güçlü bir korelasyon olduğu ve bununda tropikal deniz yüzeyi sıcaklıklarındaki artış ile bağlantılı” olduğu ifadeleri ile açıklanmıştır. Bunun yanı sıra, raporda kasırga ve siklonların daha önce hiç görülmemiş alanlarda da görülmeye başlandığına degenilmiştir. Uluslararası kuruluşlar tarafından da kabul edilen şiddetli fırtına kabarmalarındaki artış, etkili olduğu kıyı alanlarında bazı çevresel, ekonomik ve sosyal sorunların oluşmasına neden olmaktadır.

Göksu deltası kıyıları, ekolojik zenginliği, ekonomik ve rekrasyon faaliyetlerinin yoğunluğu nedeniyle Akdeniz kıyıları içerisinde oldukça önemli bir konuma sahiptir. Delta kıyılarında meydana gelen şiddetli fırtına kabarmaları bölgede önemli çevresel sorunların ortaya çıkmasına neden olmakla birlikte, ekonomik ve

Kilar, H. & Çiçek, İ. (2017). Fırtına Kabarmasına Bağlı Deniz Seviyesi Değişimlerinin Hydrotam 3D ile Modellemesi: Göksu Deltası Örneği, *International Journal of Human Sciences*, 14(3), NNN-NNN.
doi:[10.14687/ijhs.v14i3.NNNN](https://doi.org/10.14687/ijhs.v14i3.NNNN)

sosyal faaliyetlerin de önemli ölçüde kesintiye uğramasına neden olmaktadır.

Bu çalışmada, Göksu Deltası kıyılarda meydana gelen fırtına kabarmalarının deniz seviyesi değişimine olan etkisinin Hydrotam 3D programı ile modellenmesi amaçlanmıştır. Bu amaç doğrultusunda, Avrupa Orta Vadeli Hava Tahminleri Merkezinin (ECMWF) 36.3K - 34.1D koordinat noktasından üretilen rüzgâr ve dalga verilerinden faydalanılmış ve bu veriler Hydrotam 3D programında değerlendirilerek fırtına kabarma seviyeleri hesaplanmıştır.

Çalışmanın sonucunda, Göksu deltası kıyılarda en şiddetli fırtına kabarmalarının GB ve BGB yönlerinde gerçekleştiği ve bu yönlerde meydana gelen fırtına kabarmalarının deniz seviyesini önemli ölçüde yükselttiği tespit edilmiştir. GB yönünde yılda 1 saat zaman aralığında meydana gelen rüzgârlar 3,6 m seviyesinde fırtına kabarmasına neden olurken; BGB yönünde yılda 1 saat zaman aralığındaki rüzgârlar 2,7 m seviyesinde fırtına kabarması oluşturmuştur.

Anahtar Kelimeler: Fırtına Kabarması; Deniz Seviyesi Değişimi; Hydrotam 3D; Göksu Deltası; Türkiye

1. Giriş

Fırtına kabarması, atmosferik koşulların normal seyirde gerçekleşmediği durumlarda ortaya çıkan ani su seviyesi yükselmesidir (Zecchetto vd., 2015). Fırtına kabarmaları, okyanus ve deniz yüzeylerinde meydana gelen alçak basınç sistemlerinin bir sonucu olarak oluşmaktadır. Geniş su yüzeylerinde oluşan alçak basınç sistemleri hava akımlarının belli bölgelerde yiğilmasına ve türbülans etkisi oluşturarak şiddetli rüzgarların ve yüksek dalgaların ortaya çıkmasına neden olmaktadır. Fırtına kabarmalarının şiddeti; rüzgarın şiddeti, yönü ve süresine bağlı olarak değişmektedir (Woth vd., 2006).

Fırtına kabarmalarının olumsuz etkileri en fazla alçak kıyılarda görülmektedir (Krestenitis, vd., 2011). Dünya nüfusunun %10'un yaklaşık 634 milyon insanın deniz seviyesinden 0-10 m yükseltiye sahip kıyılarda yaşaması ve her geçen yıl nüfusun artması (McGranahan, vd., 2007) bu bölgelerde meydana gelen fırtına kabarmalarının olumsuz etkilerini önemli ölçüde artırmaktadır. Bunun yanı sıra, kıyı bölgelerinin biyoçeşitlik açısından zengin mekânlar olması ve sosyo-ekonomik faaliyetlerin yoğun olarak uygulanması alçak kıyıların fırtına kabarmasına olan hassasiyetini önemli ölçüde artırmaktadır. Fırtına kabarmaların kıyı bölgelerinde meydana getirdikleri hasarlar başta can ve mal kayipları olmak üzere, bölgedeki ekolojik sistemin tahrip olması, bölgedeki canlı tür ve sayısının azalması, verimli tarım arazilerinin kaybolması, yeraltı ve yerüstü su kaynaklarının kalitesinin düşmesi, çeşitli sağlık sorunlarının ortaya çıkması ve sosyal ve ekonomik faaliyetlerin kesintiye uğraması gibi çeşitli sorunların ortaya çıkmasına neden olmaktadır (Krestenitis vd., 2011). Fırtına kabarmalarının kıyı bölgelerinde oluşturduğu bu tür tahribatlar deniz seviyesi yükselmesinin süresine, büyülüğüne ve bölgenin kullanımına bağlı olarak değişmektedir (Paskoff, 1993).

4

Hükümetlerarası İklim Değişikliği Paneli (Intergovernmental Panel on Climate Change-IPCC)'nin 2007 yılında yayınlanan raporunda 1970 yılının ortalarından beri fırtınaların sürelerinin uzunluğu ve büyülüğu arasında güçlü bir korelasyon olduğu ve bununda tropikal deniz yüzeyi sıcaklıklarındaki artış ile bağlantılı olduğuna degniilmiştir. Bunun yanı sıra, aynı raporda fırtına ve kasırgaların daha önce hiç yaşanmamış yerlerde de meydana gelmeye başlığına denilmiştir. Bu durum fırtına kabarmalarının geçmişten günümüze kadarki süreçte sadece yoğunluğunun ve sürelerinin artmakla kalmadığını aynı zamanda daha farklı kıyı bölgelerinde de görülerek geniş alanları etkilediğinin bir göstergesi olmuştur.

Fırtına kabarması ile ilgili çalışmalar geçmişten günümüze kadar farklı yöntem ve araçlar ile gerçekleşmiştir. Örneğin, geçmişte fırtına kabarmaları ile ilgili çalışmalar daha çok yerel deneyel gözlemlere dayanmaktadırken bu durum teknolojik gelişmelerin bilimsel çalışmalara ve yöntemlerine olan katkısıyla birlikte daha kompleks analizler ile gerçekleştirilmeye başlanmıştır. Fırtına kabarmaları

Kilar, H. & Çiçek, İ. (2017). Fırtına Kabarmasına Bağlı Deniz Seviyesi Değişimlerinin Hydrotam 3D ile Modellemesi: Göksu Deltası Örneği, *International Journal of Human Sciences*, 14(3), NNN-NNN.
doi:[10.14687/ijhs.v14i3.NNNN](https://doi.org/10.14687/ijhs.v14i3.NNNN)

ile ilgili çalışmalarda bilgisayar simülasyonlarının kullanımı ilk defa 1960'lı yıllarda gerçekleşmeye başlamıştır. Fakat bu dönemde kullanılan bilgisayar simülasyonlarının çözümünürlük ve kapasitesinin düşük olması çalışmaların kalitesini büyük ölçüde düşürmektedir. Zaman içerisinde fiziksel imkânların daha elverişli hale getirilmesi, bilgisayarların işlem gücünün artırılması farklı modellerin geliştirilmesine, geniş ölçekli fırtına kabarma simülasyonlarının hazırlanmasına ve bunların afet planlamalarında kullanılmasına olanak sağlamıştır (Mandli, 2014).

Günümüzde Fırtına kabarması ile ilgili çalışmaların gerçekleştirilemesinde çok çeşitli modeller kullanılmaktadır. Bunlardan bazıları; Sea, Lake, and Overland Surges from Hurricanes (SLOSH) (Jelesnienski ¹ vd., 1992), ADvanced CIRCulation model (ADCIRC) (Dietrich, vd., ² 2011; Luettich vd., 1992), DELFT3D (Stelling, 1983; Booij, vd., ¹ 1999), MIKE (DHI, 2008), GCOM2D/3D (Hubbert ve McInnes 1999; McInnes vd., ² 2002, 2003), Finite-Volume Community Ocean Model (FVCOM) (Chen, vd., ² 2003; Rego ve Li, ¹ 2010) ve Hydrotam 3D'dir (Balas, L. and Özhan, E., 2000).

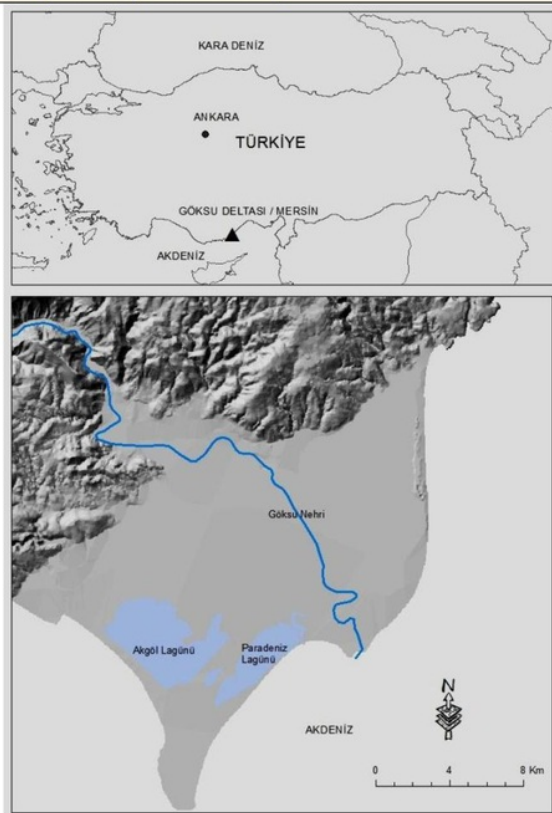
Bu çalışmada, Göksu Deltası kıyılarda meydana gelen fırtına kabarmalarının Hydrotam 3D programı ile analiz edilmesi amaçlanmıştır. Bu amaç doğrultusunda, Hydrotam 3D programının veri tabanında yer alan Avrupa Orta Vadeli Hava Tahminleri Merkezinin (ECMWF) 36,3K – 34,1D koordinat noktasından üretilen rüzgâr ve dalgalar verilerinden faydalananmış ve fırtına kabarma seviyeleri hesaplanmıştır.

2. Çalışma Sahası

Göksu Deltası, Akdeniz'in doğusunda Mersin ili sınırları içerisinde yer almaktadır (Şekil 1). Akdeniz deltaları içerisinde oldukça önemli bir yere sahip olan Göksu deltası, fiziki unsurların çeşitliliği nedeniyle biyolojik ve ekolojik zenginlikleri bünyesinde barındırmaktır ve aynı zamanda farklı ekonomik faaliyetlerin gerçekleştirilemesine olanak sağlamaktadır. Göksu Deltası'nın bu denli zengin bir ekosisteme sahip olması ve yoğun kullanılan popüler mekanlar arasında yer alması bölgede meydana gelen fırtına kabarmalarının olumsuz etkilerini önemli ölçüde artırmaktadır.

Göksu deltasının yükseltisi 0-5 m arasında değişmektedir. Deltanın yükseltisi güneyden kuzeYE doğru gittikçe artmaktadır. Göksu deltasının batı kıyıları doğu kıyılarına göre daha geniş düzüklere sahip ve eğim oranı oldukça düşüktür. Deltanın Batı kıyılarındaki lagünler, bataklık alanlar ve bunları denizden ayıran kıyı kordonları hassas ekolojik ortamlar yaratırken, doğu kıyılarındaki kumullar dalgalar kabarmasına karşı daha korunaklı alanlar oluşturur. Bu nedenle, Göksu deltası kıyılarında meydana gelen şiddetli fırtına kabarmaları çalışma sahasının batı kıyılarını daha fazla olumsuz etkilemektedir.

Kilar, H. & Çiçek, İ. (2017). Fırtına Kabarmasına Bağlı Deniz Seviyesi Değişimlerinin Hydrotam 3D ile Modellemesi: Göksu Deltası Örneği, *International Journal of Human Sciences*, 14(3), NNN-NNN.
doi:[10.14687/ijhs.v14i3.NNNN](https://doi.org/10.14687/ijhs.v14i3.NNNN)



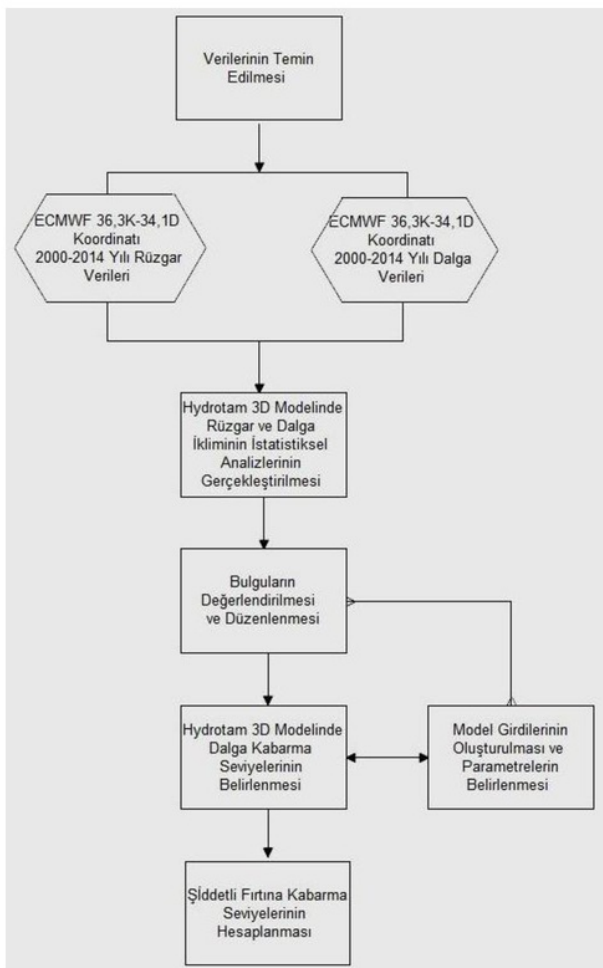
Şekil 1: Çalışma Sahasının Konumu

3. Veri ve Yöntem

Göksu Deltası kıyılardaki fırtına kabarma seviyelerinin belirlenmesini amaçlayan bu çalışmada Hydrotam 3D programından faydalılmıştır. Hydrotam 3D programı, kıyı alanlarındaki rüzgar iklimi, dalga iklimi, akıntı, kirlilik taşınımı, sediman taşınımı gibi kıyısal taşınım olaylarının benzeştirilmesi amacıyla geliştirilmiş yazılımdır (Balas, vd., 2012; [URL-4](#)). Çalışmada Hydrotam 3D programının veri tabanında yer alan ECMWF'in rüzgâr ve dalga verilerinden faydalılmıştır. ECMWF'in 36,3K-34,1D koordinat noktasından üretilen rüzgâr ve dalga verilerinin çalışma sahasının rüzgâr iklimini daha iyi temsil etmesi çalışmada bu verilerin kullanılmasını gerekli kılmıştır. 2000-2014 yıllarına ait rüzgâr ve dalga verileri öncelikle Hydrotam 3D programında istatistiksel olarak analiz edilmiş ve elde edilen bulgular düzenlenerek çalışma sahasının rüzgâr ve dalga iklimi yön, şiddet ve zamansal ölçüye göre yorumlanmıştır. Çalışmanın bir sonraki aşamasında rüzgâr ve dalga iklimden elde edilen istatistiklerden faydalınarak Hydrotam 3D programında dalga kabarma seviyeleri belirlenmiştir. Çalışma sahasının dalga kabarma seviyelerinin belirlenmesinde öncelikle

Kilar, H. & Çiçek, İ. (2017). Fırtına Kabarmasına Bağlı Deniz Seviyesi Değişimlerinin Hydrotam 3D ile Modellemesi: Göksu Deltası Örneği, *International Journal of Human Sciences*, 14(3), NNN-NNN.
doi:[10.14687/ijhs.v14i3.NNNN](https://doi.org/10.14687/ijhs.v14i3.NNNN)

Hydrotam 3D programında belirli parametreler oluşturulmuş ve daha sonra veri girdileri sağlanarak dalga kabarma seviyeleri hesaplanmıştır. Çalışmanın en son aşamasında ise elde edilen tüm bulgular bir birleri ile ilişkilendirilerek fırtına kabarma seviyeleri hesaplanmıştır (Şekil 2).



Şekil 2: Çalışma Akuş Diyagramı

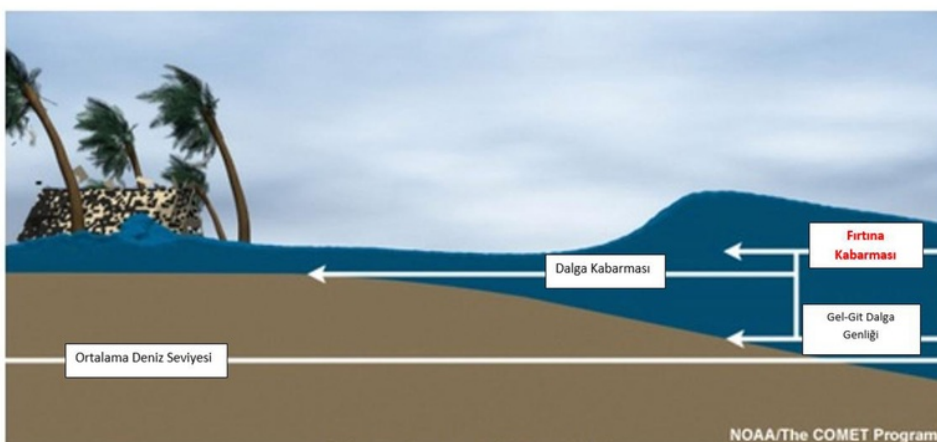
3.1. Fırtına Kabarma Seviyelerinin Hesaplanması

Göksu Deltası kıyılarda meydana gelen fırtına kabarma seviyelerinin hesaplanmasıında aşağıdaki formülden faydalansılmıştır.

$$\text{Ortalama Deniz Seviyesi} + \text{Gel-Git Dalga Genliği} + \text{Dalga Kabarması} = \text{Fırtına Kabarması}$$

Kilar, H. & Çiçek, İ. (2017). Fırtına Kabarmasına Bağlı Deniz Seviyesi Değişimlerinin Hydrotam 3D ile Modellemesi: Göksu Deltası Örneği, *International Journal of Human Sciences*, 14(3), NNN-NNN.
doi:[10.14687/ijhs.v14i3.NNNN](https://doi.org/10.14687/ijhs.v14i3.NNNN)

Fırtına kabarma seviyelerinin belirlenebilmesi için çalışma sahasının ortalama deniz seviyesi, gel-git dalga genliği (0,20 cm) ve dalga kabarma seviyeleri belirlenmiş ve elde edilen bulgular bir araya getirilerek çalışma sahasında etkili olan fırtına kabarma seviyeleri hesaplanmıştır (Şekil 3).



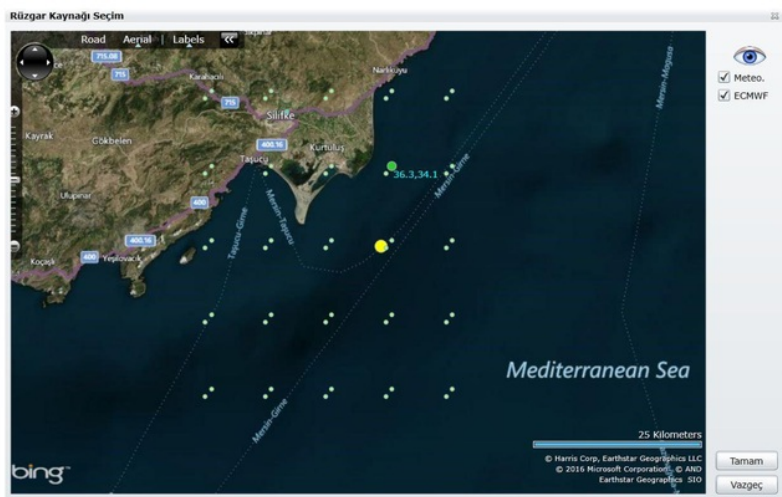
Şekil 3: Fırtına Kabarma Sevilerinin Belirlenmesi (URL-3).

4. Bulgular

4.1. Çalışma Sahasının Rüzgâr İklimi

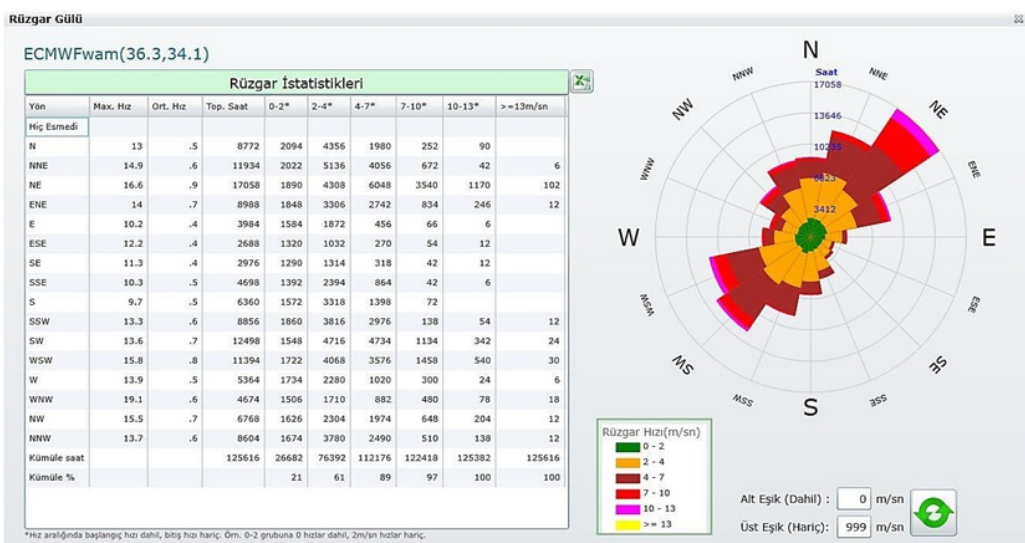
Avrupa Orta Vadeli Hava Tahminleri Merkezi (ECMWF)'nin 36,3K-34,1D koordinat noktasından üretilen 2000-2014 yıllarına ait rüzgâr verilerinin Hydrotam 3D programında istatistiksel olarak değerlendirilmesi sonucu çalışma sahasının rüzgâr iklimi belirlenmiştir (Şekil 4). ECMWF'in deniz üstü rüzgâr verilerinin tahminin de başarılı sonuçlar vermesi çalışma sahasının rüzgâr ikliminin belirlenmesinde bu veri tabanından faydalılmasını sağlamıştır.

Kilar, H. & Çiçek, İ. (2017). Fırtına Kabartmasına Bağlı Deniz Seviyesi Değişimlerinin Hydrotam 3D ile Modellemesi: Göksu Deltası Örneği, *International Journal of Human Sciences*, 14(3), NNN-NNN.
doi:10.14687/ijhs.v14i3.NNNN



Şekil 4: ECMWF'in 36,3K-34,1D Koordinat Noktasının Konumu (HYDROTAM 3D)

Hydrotam 3D programında analiz edilen rüzgâr istatistikleri ve rüzgârgülü grafiğinin incelenmesi sonucunda çalışmasındaki etkili rüzgâr yönlerinin GB-KD; BGB-DKD; GGB-KKD doğrultusunda olduğu tespit edilmiştir (Şekil 5). Özellikle de GB-KD; BGB-DKD doğrultusunda esen rüzgârların deniz üzerinde gerçekleşmesi nedeniyle dalga seviyesinin değişmesinde önemli rol oynamaktadır.

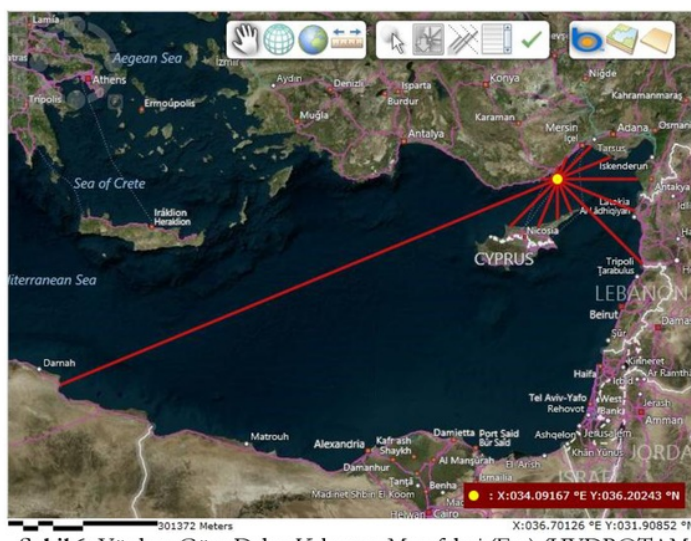


Şekil 5: ECMWF 36,3K-34,1D koordinat noktasının 2000-2014 yıllarına ait yönlere göre rüzgârgülü (HYDROTAM 3D)

4.2. Çalışma Sahasının Dalga İklimi

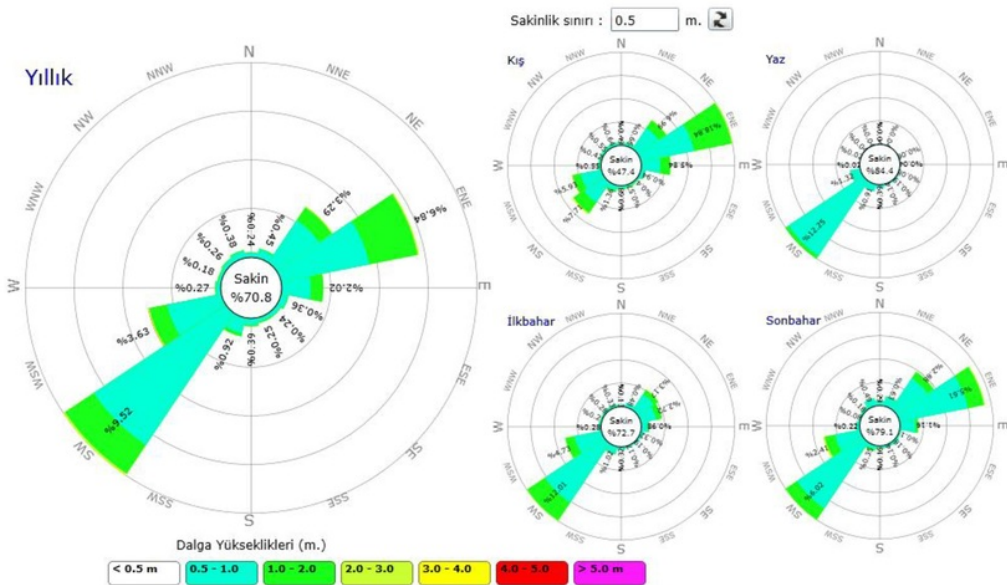
ECMWF'in 36,3K-34,1D koordinat noktasından üretilen 2000-2014 yıllarına ait dalga verilerinin Hydrotam 3D programında değerlendirilmesi sonucunda çalışma sahasının dalga iklimi tanımlayan feç haritası ve dalga gülleri üretilmiştir. Feç haritaları, çalışma sahasında oluşan rüzgârin dalga oluşturması için suyu etkilediği mesafeyi göstermektedir. Bu nedenle, feç haritaları dalga karakteristikleri hakkında önemli bilgiler sunmaktadır.

Çalışma sahasının feç haritasının incelenmesi durumunda en uzun feç mesafesinin 1,201 km ile BGB yönü olduğu tespit edilmiştir (Şekil 6). Bu yönde gerçekleşen dalgaların büyüklüğü feç mesafesinin uzunluğuna bağlı olarak daha büyük olacaktır. Bu nedenle, BGB yönünde gerçekleşen fırtına kabarmalarının çalışma sahاسını önemli ölçüde etkilemesi düşünülmektedir.



Şekil 6: Yönlere Göre Dalga Kabarma Mesafeleri (Feç) (HYDROTAM 3D)

Göksu Deltası kıyılarının hâkim dalga yönleri Hydrotam 3D programında yıllık ve mevsimlik olarak değerlendirilmiştir (Şekil 7). Çalışma sahasının yıllık hâkim dalga yönünün incelenmesi sonucunda en etkin yönün GB olduğu tespit edilmiştir. Mevsimlik ölçekte hâkim dalga yönlerinin değerlendirilmesi durumunda ise sadece kış mevsiminde DKD yönünün etkin olduğu, bunun dışında diğer tüm mevsimlerde GB yönünün etkin olduğu gözlemlenmiştir.



Şekil 7: ECMWF 36,3K-34,1D koordinat noktasının 2000-2014 yıllarına ait yönlere göre dalga yükseklikleri (HYDROTAM 3D)

4.3. Rüzgâr ve Dalga İstatistikleri

ECMWF'in 36,3K-34,1D koordinat noktasından üretilen 2000-2014 yıllarına ait rüzgâr ve dalga verilerinin Hydrotam 3D programında istatistiksel olarak değerlendirilmesi sonucu elde edilen bulgular Tablo 1'de sunulmuştur. Zaman, yön ve şiddetine göre değerlendirilen rüzgâr ve dalga verileri çalışma sahasının rüzgâr ve dalga ikliminin tanımlanmasında önemli bir aşamayı oluşturmuştur. Çalışma sahasındaki en etkili rüzgâr ve dalga yönleri BGB ve GB yönleridir (Tablo 1). Bu yönlerde gerçekleşen rüzgâr ve dalgaların çalışma sahası kıyılarını önemli ölçüde etkilediği tespit edilmiştir. Göksu Deltası kıyılarında BGB yönde 7 yılda bir tekrarlanma olasılığına sahip yılda 1 saat zaman aralığındaki 15,5 m/sn hızındaki rüzgarlar çalışma sahasında en fazla 2,9 m dalga yüksekliği oluştururken; GB yönde 8 yılda bir tekrarlanma olasılığına sahip yılda 1 saat zaman aralığındaki 16 m/sn hızındaki rüzgarlar 2,8 m yüksekliğinde dalga oluşturmuştur.

Kilar, H. & Çiçek, İ. (2017). Fırtına Kabarmasına Bağlı Deniz Seviyesi Değişimlerinin Hydrotam 3D ile Modellemesi: Göksu Deltası Örneği, *International Journal of Human Sciences*, 14(3), NNN-NNN.
doi:[10.14687/ijhs.v14i3.NNNN](https://doi.org/10.14687/ijhs.v14i3.NNNN)

Saat/Yıl	1		5		10	
Yönler	Rüzgar (m/sn)	Dalga (m)	Rüzgar (m/sn)	Dalga (m)	Rüzgar (m/sn)	Dalga (m)
BGB	15,497	2,916	12,621	2,245	11,383	1,957
GB	16,002	2,828	12,898	2,271	11,561	2,03
GGB	13,059	1,777	10,312	1,354	9,129	1,172
G	8,979	1,84	7,254	1,279	6,51	1,037
GGB	9,537	1,515	7,476	1,063	6,588	0,868
GD	9,708	1,417	7,219	0,959	6,148	0,762
DGD	10,353	1,275	7,513	0,935	6,29	0,789
D	9,725	2,131	7,431	1,655	6,443	1,451
DKD	14,62	2,748	11,713	2,218	10,461	1,989
KD	16,519	2,619	13,73	2,029	12,529	1,775
KKD	12,501	1,523	10,195	1,09	9,201	0,904
K	13,321	1,319	10,475	0,921	9,249	0,75
KKB	14,392	1,457	11,381	1,032	10,084	0,849
KB	14,576	1,489	11,547	1,015	10,242	0,811
BKB	15,028	1,459	11,383	0,97	9,813	0,759
B	12,354	1,48	9,569	1,027	8,369	0,832

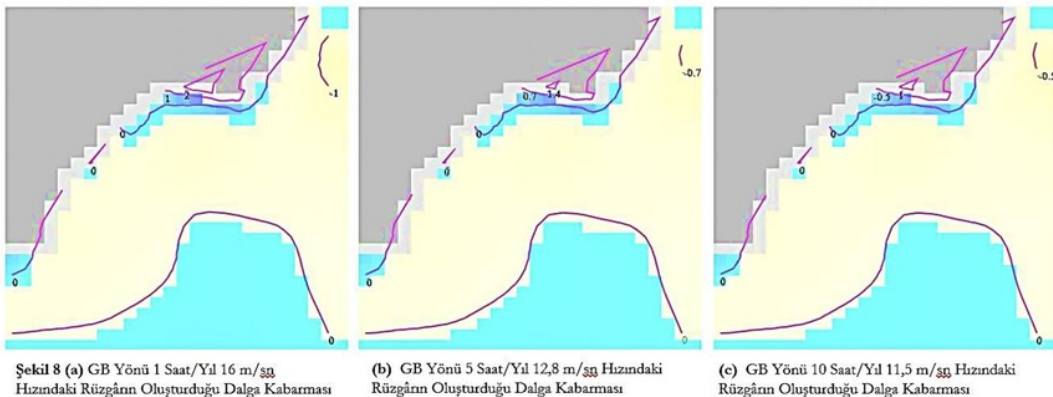
Tablo 1: ECMWF 36.3K - 34.1D Koordinat Noktasının Rüzgâr ve Dalga İstatistikleri

4.4. Dalga Kabarması

4.4.1. GB Yönü Dalga Kabarması

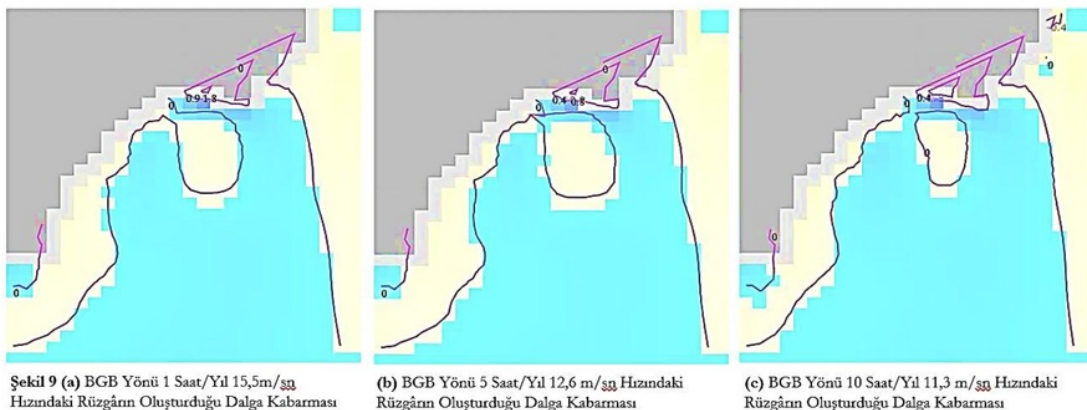
Göksu deltası kıyılardaki dalga kabarma seviyelerinin belirlenmesinde Hydrotam 3D programından faydalılmıştır. Tablo 1'de paylaşılan yön, şiddet ve zamansal ölçüye göre değerlendirilen rüzgâr ve dalga istatistikleri Hydrotam 3D programının veri tabanına girilmiş ve belirlenen parametrelerle göre dalga kabarma seviyeleri belirlenmiştir.

Çalışmanın sonucunda, GB yönünde 8 yılda bir tekrarlanma olasılığına sahip yılda 1 saat zaman aralığında oluşan ortalama 16 m/sn hızındaki rüzgârin oluşturduğu dalga kabarma seviyesi en fazla 2 m'dir [Şekil 8 \(a\)](#). GB yönünde 1,5 yılda bir tekrarlanma olasılığına sahip yılda 5 saat zaman aralığında oluşan 12,6 m/sn hızındaki rüzgârin oluşturduğu dalga kabarma seviyesi ise en fazla 0,7 m iken; GB yönünde yılda 1 tekrarlanma olasılığına sahip yılda 10 saat zaman aralığında oluşan 11,5 m/sn hızındaki rüzgârin oluşturduğu dalga seviyesi 0,5 m'dir [Şekil 8 \(b\), \(c\)](#).



4.4.2. BGB Yönü Dalga Kabarması

Göksu Deltası kıyılarında BGB yönünde 7 yılda bir tekrarlanma olasılığına sahip yilda 1 saat zaman aralığında meydana gelen ortalama 15,5 m/sn şiddetindeki rüzgârin oluşturduğu dalga kabarması en fazla 1 m'dir [Şekil 9 \(a\)](#). BGB yönünde 1,5 yılda bir tekrarlanma olasılığına sahip yilda 5 saat zaman aralığında oluşan ortalama 12,6 m/sn şiddetindeki rüzgârin meydana getirdiği dalga kabarması 0,8 m iken; BGB yönünde yilda 1 tekrarlanma olasılığına sahip yilda 10 saat zaman aralığında oluşan ortalama 11,3 m/sn şiddetindeki rüzgârm oluşturduğu dalga kabarması 0,4 m olarak belirlenmiştir [Şekil 9 \(b\), \(c\)](#).



4.5. Fırtına Kabarması

4.5.1. GB Yönü Fırtına Kabarma Seviyeleri

Göksu deltası kıyılarında meydana gelen fırtına kabarma seviyelerinin incelenmesi durumunda; en yüksek fırtına kabarmasının 3,6 m ile GB yönünde 8 yılda bir tekrarlanma olasılığına

Kilar, H. & Çiçek, İ. (2017). Fırtına Kabamasına Bağlı Deniz Seviyesi Değişimlerinin Hydrotam 3D ile Modellemesi: Göksu Deltası Örneği, *International Journal of Human Sciences*, 14(3), NNN-NNN.
doi:[10.14687/ijhs.v14i3.NNNN](https://doi.org/10.14687/ijhs.v14i3.NNNN)

sahip yılda 1 saat zaman aralığında oluşan rüzgârlar tarafından gerçekleştiği tespit edilmiştir. GB yönünde 1,5 yılda bir tekrarlanma olasılığına sahip yılda 5 saat zaman aralığında oluşan rüzgârların meydana getirdiği fırtına kabarma seviyesi 2 m iken; GB yönünde yılda 1 tekrarlanma olasılığına sahip yılda 10 saat zaman aralığında gerçekleşen rüzgârların meydana getirdiği fırtına kabarmaları 1,7 m olduğu tespit edilmiştir (Tablo 2).

Saat/Yıl	1			5			10		
	YÖN	Dalga Kabaması (m)	Ortalama Deniz Seviyesi (m)	Gel-Git Dalga Genliği (m)	Dalga Kabaması (m)	Ortalama Deniz Seviyesi (m)	Gel-Git Dalga Genliği (m)	Dalga Kabaması (m)	Ortalama Deniz Seviyesi (m)
GB	2	1,4	0,20	0,7	1,1	0,20	0,5	1	0,20
Dalga Yüksekliği	3,6 m			2 m			1,7 m		

Tablo 2: Göksu Deltası Kıyıları GB Yönü Fırtına Kabarma Seviyeleri

4.5.2. BGB Yönü Fırtına Kabarma Seviyeleri

Çalışma sahasının BGB yönünde meydana gelen şiddetli fırtına kabarma seviyelerinin değerlendirilmesi sonucunda en yüksek fırtına kabarma seviyesinin 2,7 m ile 7 yılda bir tekrarlanma olasılığına sahip yılda 1 saat zaman aralığında meydana gelen rüzgârlar tarafından oluşturduğu tespit edilmiştir. BGB yönünde 1,5 yılda bir tekrarlanma olasılığına sahip yılda 5 saat zaman aralığında oluşan rüzgârlar 2,1 m seviyesinde fırtına kabamasına neden olurken; yılda 1 tekrarlanma olasılığına sahip yılda 10 saat zaman aralığında oluşan rüzgârlar 1,6 m seviyesinde fırtına kabaması meydana getirmiştir (Tablo 3).

Saat/Yıl	1			5			10		
	YÖN	Dalga Kabaması (m)	Ortalama Deniz Seviyesi (m)	Gel-Git Dalga Genliği (m)	Dalga Kabaması (m)	Ortalama Deniz Seviyesi (m)	Gel-Git Dalga Genliği (m)	Dalga Kabaması (m)	Ortalama Deniz Seviyesi (m)
BGB	1	1,5	0,20	0,8	1,1	0,20	0,4	1	0,20
Dalga Yüksekliği	2,7 m			2,1 m			1,6 m		

Tablo 3: Göksu Deltası Kıyıları BGB Yönü Fırtına Kabarma Seviyeleri

5. Sonuç ve Tartışma

Göksu Deltası kıyılarında meydana gelen şiddetli fırtına kabarma seviyelerinin Hydrotam 3D programı ile belirlenmesini amaçlayan bu çalışmada, en şiddetli fırtına kabarmalarının GB ve BGB yönlerinde gerçekleştiği tespit edilmiştir. GB yönünde 8 yılda bir tekrarlanma olasılığına sahip yılda 1 saat süreyle oluşan rüzgârlar 3,6 m seviyesinde fırtına kabaması oluştururken; BGB yönünde 7 yılda

Kilar, H. & Çiçek, İ. (2017). Fırtına Kabamasına Bağlı Deniz Seviyesi Değişimlerinin Hydrotam 3D ile Modellemesi: Göksu Deltası Örneği, *International Journal of Human Sciences*, 14(3), NNN-NNN.
doi:[10.14687/jhs.v14i3.NNNN](https://doi.org/10.14687/jhs.v14i3.NNNN)

bir tekrarlanma olasılığına sahip yılda 1 saat zaman aralığındaki rüzgârlar 2,7 m seviyesinde fırtına kabaması oluşturmaktadır.

Akdeniz genelinde gerçekleştirilen fırtına kabaması ile ilgili çalışmaların incelenmesi durumunda ise elde edilen sonuçların önemli ölçüde değişkenlik gösterdiği tespit edilmiştir. Akdeniz'in geniş bir kapalı havza olması, kıyı özelliklerinin değişkenlik göstermesi, feç mesafeleri, çalışmalarında kullanılan modeller ve veri zaman aralıkları gibi parametreler fırtına kabaması ile ilgili elde edilen değerlerin önemli ölçüde farklılaşmasına neden olmaktadır. Örneğin, Androulidakis vd., 2008 yılında gerçekleştirmiş oldukları çalışmada Barselona' da 1 Mart 2001 tarihinde etkili olan fırtına kabamasının Batı Akdeniz kıyılarında 0,5 m deniz seviyesi yükselmesine neden olduğunu tespit etmişlerdir. Yine aynı çalışmada 2002 yılının Aralık ayında Venedik kıyılarında etkili olan fırtına kabamasının deniz seviyesinin 1 m yükselmesine neden olduğu belirtilmektedir. Sonuç olarak, Akdeniz kıyılarında etkili olan fırtına kabarmaları son yıllarda daha sık ve şiddetli öleklerde meydana gelmeye başlamış ve bu konuda hazırlanan çalışmaların önemini büyük ölçüde artırmıştır.

Göksu deltası kıyılarında en şiddetli fırtına kabarmalarının meydana geldiği GB ve BGB yönlerinde oluşan 3,6 m ve 2,7 m seviyesindeki deniz eviyesi yükselmeleri kıyı bandında bazı tahrip edici değişimlerin ortaya çıkmasına neden olmaktadır. Bilindiği üzere, Göksu Deltası kıyıları fiziki ortamın çeşitliliği ve elverişliliği nedeni ile ekolojik açıdan oldukça zengin bir ekosisteme sahiptir. Bunun yanı sıra, çalışma sahasının delta özelliğinde olması ve pek çok acıdan verimli ve elverişli bir topografiyaya sahip olması başta tarım olmak üzere, balıkçılık, ulaşım, turizm gibi çeşitli ekonomik faaliyetlerin yoğun olarak uygulanmasına olanak sağlamaktadır. Göksu Deltası kıyılarının sahip olduğu tüm bu olanaklara son yıllarda oldukça önem kazanan rekreatif faaliyetlerinin de eklenmesi bölgenin popüleritesini önemli ölçüde artırmıştır. Bu nedenle, Göksu deltası kıyılarında meydana gelen şiddetli fırtına kabarmaları çevresel değişimlerin oluşmasının yanı sıra sosyo-ekonomik değişimlerinde yaşanmasına neden olmuştur. Örneğin, 13 Eylül 2010 tarihinde Paradeniz Lagünü çevresinde etkili olan şiddetli fırtına kabaması lagün kordonundaki erozyonu artırılmış ve daha fazla deniz suyunun Paradeniz Lagününe girmesine ve su kalitesinin değişmesine neden olmuştur ([URL-2](#)). Deltadaki su kaynaklarının kalitesinin değişmesi bölgede yaşayan canlıların olumsuz etkilenmesinin yan sıra bölgede gerçekleştirilen ekonomik faaliyetlerin de kalitesinin düşmesine neden olmaktadır. 29 Aralık 2016 tarihinde gerçekleşen şiddetli fırtına kabamasında ise Göksu deltası kıyılarının belirli bölgeleri (park alanları ve sahil yolları) dalga taşınlarını nedeni ile sular altında kalmış ve bölgede o sırada dolaşmakta olan bir gencin dalgalar tarafından yutularak yaşamını yitirmesine neden olmuştur ([URL-1](#)).

Sonuç olarak, Göksu Deltası kıyıları son yıllarda Akdeniz kıyılarında daha sık ve şiddetli meydana gelmeye başlayan fırtına kabarmalarından oldukça fazla etkilenmektedir. Çalışma sahasının

Kilar, H. & Çiçek, İ. (2017). Fırtına Kabarmasına Bağlı Deniz Seviyesi Değişimlerinin Hydrotam 3D ile Modellemesi: Göksu Deltası Örneği, *International Journal of Human Sciences*, 14(3), NNN-NNN.
doi:[10.14687/ijhs.v14i3.NNNN](https://doi.org/10.14687/ijhs.v14i3.NNNN)

delta özelliğinde olması nedeni ile düz ve eğiminin düşük olması, zengin bir ekosisteme sahip olması, ekonomik faaliyetlerin yoğun olarak uygulanması ve son yıllarda rekrasyon faaliyetleri için daha çok tercih edilmesi bölgede gerçekleşen şiddetli fırtına kabarmalarının olumsuz etkileri ölçüde artmaktadır.

Göksu Kıyılarında meydana gelen şiddetli fırtına kabarmalarının olumsuz etkilerinin en aza indirilmesi veya engellenmesi için bazı çalışmaların gerçekleştirilmesi gerekmektedir. Bunlar içerisinde çalışma sahasında meydana gelen fırtına kabarması ile ilgili çalışmaların nitelik ve nicelik olarak artırılması oldukça önemli bir yer teşkil etmektedir. Çalışma sahasının tüm fiziki ve beşeri unsurları göz önünde bulundurularak geliştirilen fırtına kabarma modelleri şiddetli fırtına kabarmalarının çalışma sahasına olumsuz etkilerini oldukça azaltacaktır. Ayrıca, bilimsel çalışmalarдан elde edilen bulguların ilgili kurum ve kuruluşlar tarafından değerlendirilmesi ve çalışma sahası ile ilgili hazırlanan afet ve planlama raporlarına dâhil edilmesi şiddetli fırtına kabarmalarının olumsuz etkilerini ölçüde düşürecektir. Fırtına kabarmalarının Göksu Deltası kıyılarındaki olumsuz etkilerini azaltmayı amaçlayan tüm bu bilimsel içerikli araştırma çalışmalarının yanı sıra bölgenin mevcut arazi kullanımının yeniden değerlendirilmesi, kıyının doğal yapısının bozulmadan koruma amaçlı mahmuzların inşa edilmesi, kıyıdan kum alımlarının durdurulması gibi bazı önlemlerin alınması oldukça önemlidir.

Göksu Deltası'nda Fırtına Kabarmasına Bağlı Deniz Seviyesi Değişimleri

ORIGINALITY REPORT

2%
SIMILARITY INDEX

PRIMARY SOURCES

- 1 Hu, Kelin, Qin Chen, and Hongqing Wang. "A numerical study of vegetation impact on reducing storm surge by wetlands in a semi-enclosed estuary", *Coastal Engineering*, 2015. 29 words — 1%
Crossref
 - 2 Jun Wang. "Evaluation of the combined risk of sea level rise, land subsidence, and storm surges on the coastal areas of Shanghai, China", *Climatic Change*, 05/05/2012 16 words — < 1%
Crossref
 - 3 www.researchgate.net 13 words — < 1%
Internet
 - 4 www.caginpolisi.com.tr 10 words — < 1%
Internet
 - 5 es.scribd.com 8 words — < 1%
Internet
-

EXCLUDE QUOTES ON
EXCLUDE BIBLIOGRAPHY OFF

EXCLUDE MATCHES OFF